

MENU

SEARCH

INDEX

DETAIL

NEXT

1/2



JAPANESE PATENT OFFICE

PATENT ABSTRACTS OF JAPAN

(11)Publication number: 11316542

(43)Date of publication of application: 16.11.1999

(51)Int. CL

G09C 1/00
G09C 1/00
G09C 1/00
H04L 9/32

(21)Application number: 11056592 (71)Applicant: MATSUSHITA ELECTRIC IND CO LTD

(22)Date of filing: 04.03.1999 (72)Inventor: MIYAJI MITSUKO

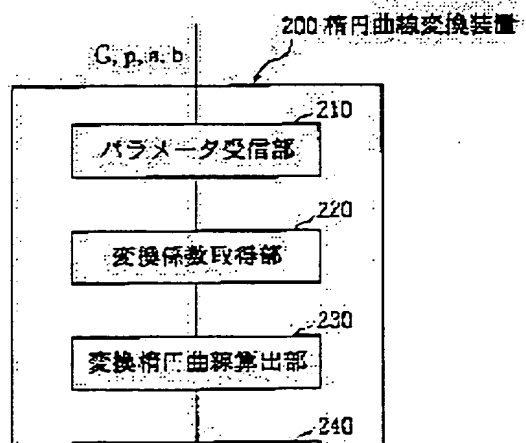
(30)Priority

Priority number: 10 53204 Priority date: 05.03.1998 Priority country: JP

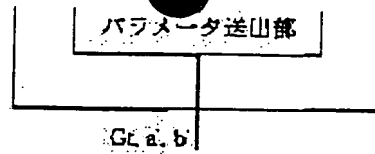
(54) ELLIPTIC CURVE CONVERTING DEVICE, AND DEVICE AND SYSTEM FOR UTILIZATION

(57)Abstract:

PROBLEM TO BE SOLVED: To provide an elliptic curve converting device which converts an elliptic curve selected optionally as a safe elliptic curve suitable for ciphering into an elliptic curve having safety equivalent to that of the said elliptic curve and capable of decreasing the calculation quantity. SOLUTION: Relating to this converting device 200, a conversion coefficient acquisition part 220 uses parameters (a) and (b) and an element G of a received elliptic curve E to obtain a conversion coefficient (t) as an element on a finite body GF(p) so that $t4 \times a \pmod{p}$ is 32 bits. A converted



elliptic curve calculation part 230 calculates parameters a' and b' of an elliptic curve $E: y'^2 = x'^3 + a'x' + b'$ constituted on the finite body $GF(p)$ to calculate an element Gt on the elliptic curve E . A parameter sending-out part 240 send out the calculated parameters a' and b' and element $Gt(xt0, yt0)$.



LEGAL STATUS

[Date of request for examination] 13.09.1999
[Date of sending the examiner's decision of rejection]
[Kind of final disposal of application other than the examiner's decision of rejection or application converted registration]
[Date of final disposal for application]
[Patent number]
[Date of registration]
[Number of appeal against examiner's decision of rejection]
[Date of requesting appeal against examiner's decision of rejection]
[Date of extinction of right]

Copyright (C); 1998 Japanese Patent Office

[MENU](#)[SEARCH](#)[INDEX](#)[DETAIL](#)[NEXT](#)

(19) 日本国特許庁 (J P)

(12) 公開特許公報 (A)

(11) 特許出願公開番号

特開平11-316542

(43) 公開日 平成11年(1999)11月16日

(51) IntCl. ⁸	識別記号	FI	
G 0 9 C 1/00	6 2 0	G 0 9 C 1/00	6 2 0 Z
			6 2 0 A
	6 4 0		6 4 0 B
	6 5 0		6 5 0 Z
H 0 4 L 9/32		H 0 4 L 9/00	6 7 5 B

審査請求 未請求 請求項の数12 O L (全 17 頁)

(21) 出願番号 特願平11-56592

(22) 出願日 平成11年(1999) 3 月 4 日

(31) 優先権主張番号 特願平10-53204

(32) 優先日 平10(1998) 3 月 5 日

(33) 優先権主張国 日本 (J P)

(71) 出願人 000005821

松下電器産業株式会社

大阪府門真市大字門真1006番地

(72) 発明者 宮地 充子

石川県能美郡辰口町旭台一丁目50番D-34号

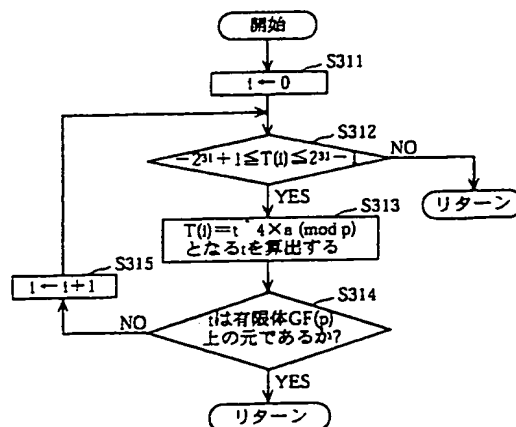
(74) 代理人 弁理士 中島 司朗 (外1名)

(54) 【発明の名称】 楕円曲線変換装置、利用装置及び利用システム

(57) 【要約】

【課題】 本発明は、暗号に適した安全な楕円曲線として任意に選択された楕円曲線を、この楕円曲線と等価な安全性を有し、計算量を削減できる楕円曲線に変換する楕円曲線変換装置を提供することを目的とする。

【解決手段】 受信した楕円曲線Eのパラメータa、bと元Gとを用いて、変換係数取得部220は、 $t^4 \times a \pmod{p}$ が32ビット以下になるように、有限体GF(p)上の元である変換係数tを取得し、変換楕円曲線算出部230は、有限体GF(p)上に構成される楕円曲線E t : $y'^2 = x'^3 + a'x' + b'$ のパラメータa'、b'を算出し、楕円曲線E t上の元G tを算出し、パラメータ送出部240は、前記算出されたパラメータa'、b'と、元G t (x t 0, y t 0)とを外部へ送出する。



【特許請求の範囲】

【請求項1】 1つの楕円曲線Eを変換して他の1つの楕円曲線Etを生成する楕円曲線変換装置であって、外部から、素数pと、楕円曲線Eのパラメータa及びパラメータbと、ベースポイントとしての元Gとを受信する手段であって、楕円曲線Eは、有限体GF(p)上で定義され、 $y^2 = x^3 + ax + b$ で表され、元Gは、楕円曲線E上に存在し、 $G = (x_0, y_0)$ で表される受信手段と、

有限体GF(p)上に存在する変換係数tを取得する手段であって、変換係数tは、 $t \neq 0$ であり、かつ、 $t^4 \times a \pmod{p}$ は、素数pと比較して桁数が小さい、という条件を満たす変換係数取得手段と、

前記取得された変換係数tを用いて、次式により、楕円曲線Etのパラメータa'及びb'と、新たなベースポイント元Gtとを算出する手段であって、

$$a' = a \times t^4,$$

$$b' = b \times t^6,$$

$$x_{t0} = t^2 \times x_0,$$

$$y_{t0} = t^3 \times y_0,$$

楕円曲線Etは、有限体GF(p)上で定義され、 $y'^2 = x'^3 + a' \times x' + b'$ で表され、 x_{t0} 、 y_{t0} は、それぞれ元Gtのx座標値、y座標値である楕円曲線算出手段と、

前記算出されたパラメータa'及びb'と、元Gtとを外部へ出力する出力手段とを備えることを特徴とする楕円曲線変換装置。

【請求項2】 pは、160ビットの素数であり、

前記変換係数取得手段は、 $t^4 \times a \pmod{p}$ が32ビット以下の数になる、という条件を満たす変換係数tを取得することを特徴とする請求項1記載の楕円曲線変換装置。

【請求項3】 前記変換係数取得手段は、 $t^4 \times a \pmod{p}$ が-3となる、という条件を満たす変換係数tを取得することを特徴とする請求項1記載の楕円曲線変換装置。

【請求項4】 前記変換係数取得手段は、変数Tとして、初期値を-3とし、初期値以外の値については、桁数の小さい値から大きい値へ順に取ることと、 $T = t^4 \times a \pmod{p}$

という条件を満たすかどうかを判定することとを繰り返すことにより、変換係数tを取得することを特徴とする請求項1記載の楕円曲線変換装置。

【請求項5】 1つの楕円曲線Eを変換して他の1つの楕円曲線Etを生成する楕円曲線変換装置と、生成された楕円曲線Etを利用する利用装置とからなる楕円曲線利用システムであって、

前記利用装置は、第1出力手段と第1受信手段と利用手段とを備え、前記楕円曲線変換装置は、第2受信手段と変換係数取得手段と楕円曲線算出手段と第2出力手段と

を備え、

前記第1出力手段は、素数pと、楕円曲線Eのパラメータa及びパラメータbと、ベースポイントとしての元Gとを前記楕円曲線変換装置へ出力し、

ここで、楕円曲線Eは、有限体GF(p)上で定義され、

$$y^2 = x^3 + ax + b \text{ で表され、}$$

元Gは、楕円曲線E上に存在し、 $G = (x_0, y_0)$ で表され、

前記第2受信手段は、前記利用装置から、素数pと、楕円曲線Eのパラメータa及びパラメータbと、元Gとを受信し、

前記変換係数取得手段は、有限体GF(p)上に存在する変換係数tを取得し、

ここで、変換係数tは、 $t \neq 0$ であり、かつ、 $t^4 \times a \pmod{p}$ は、素数pと比較して桁数が小さい、という条件を満たし、

前記楕円曲線算出手段は、前記取得された変換係数tを用いて、次式により、楕円曲線Etのパラメータa'及びb'と、新たなベースポイントとしての元Gtとを算出し、

$$a' = a \times t^4,$$

$$b' = b \times t^6,$$

$$x_{t0} = t^2 \times x_0,$$

$$y_{t0} = t^3 \times y_0,$$

ここで、楕円曲線Etは、有限体GF(p)上で定義され、

$$y'^2 = x'^3 + a' \times x' + b' \text{ で表され、}$$

x_{t0} 、 y_{t0} は、それぞれ元Gtのx座標値、y座標値であり、

前記第2出力手段は、前記算出されたパラメータa'及びb'と、元Gtとを前記利用装置へ出力し、

前記第1受信手段は、前記出力されたパラメータa'及びb'と、元Gtとを受信し、

前記利用手段は、素数pと、前記受信したパラメータa'及びb'とで定まる楕円曲線と、ベースポイントとしての元Gtとを用いて、有限体GF(p)上で定義される楕円曲線上での演算に基づき、離散対数問題を安全性の根拠とする暗号、復号、デジタル署名、デジタル署名検証又は鍵共有を行うことを特徴とする楕円曲線利用システム。

【請求項6】 pは、160ビットの素数であり、

前記変換係数取得手段は、 $t^4 \times a \pmod{p}$ が32ビット以下の数になる、という条件を満たす変換係数tを取得することを特徴とする請求項5記載の楕円曲線利用システム。

【請求項7】 前記変換係数取得手段は、 $t^4 \times a \pmod{p}$ が-3となる、という条件を満たす変換係数tを取得することを特徴とする請求項5記載の楕円

曲線利用システム。

【請求項8】 前記変換係数取得手段は、変数 T として、初期値を -3 とし、初期値以外の値については、桁数の小さい値から大きい値へ順に取ることと、

$$T = t^4 \times a \pmod{p}$$

という条件を満たすかどうかを判定することとを繰り返すことにより、変換係数 t を取得することを特徴とする請求項5記載の楕円曲線利用システム。

【請求項9】 第2受信手段と変換係数取得手段と楕円曲線算出手段と第2出力手段とを備え、1つの楕円曲線 E を変換して他の1つの楕円曲線 E_t を生成する楕円曲線変換装置から、前記生成された楕円曲線 E_t を受信して利用する利用装置であって、

前記利用装置は、第1出力手段と第1受信手段と利用手段とを備え、

前記第1出力手段は、素数 p と、楕円曲線 E のパラメータ a 及びパラメータ b と、ベースポイントとしての元 G とを前記楕円曲線変換装置へ出力し、

ここで、楕円曲線 E は、有限体 $GF(p)$ 上で定義され、

$$y^2 = x^3 + ax + b \text{ で表され、}$$

元 G は、楕円曲線 E 上に存在し、 $G = (x_0, y_0)$ で表され、

前記第2受信手段は、前記利用装置から、素数 p と、楕円曲線 E のパラメータ a 及びパラメータ b と、元 G とを受信し、

前記変換係数取得手段は、有限体 $GF(p)$ 上に存在する変換係数 t を取得し、

ここで、変換係数 t は、 $t \neq 0$ であり、かつ、 $t^4 \times a \pmod{p}$ は、素数 p と比較して桁数が小さい、という条件を満たし、

前記楕円曲線算出手段は、前記取得された変換係数 t を用いて、次式により、楕円曲線 E_t のパラメータ a' 及び b' と、元 G_t とを算出し、

$$a' = a \times t^4,$$

$$b' = b \times t^6,$$

$$x_{t0} = t^2 \times x_0,$$

$$y_{t0} = t^3 \times y_0,$$

ここで、楕円曲線 E_t は、有限体 $GF(p)$ 上で定義され、

$$y'^2 = x'^3 + a' \times x' + b' \text{ で表され、}$$

x_{t0} 、 y_{t0} は、それぞれ元 G_t の x 座標値、 y 座標値であり、

前記第2出力手段は、前記算出されたパラメータ a' 及び b' と、元 G_t とを前記利用装置へ出力し、

前記第1受信手段は、前記出力されたパラメータ a' 及び b' と、元 G_t とを受信し、

前記利用手段は、素数 p と、前記受信したパラメータ

a' 及び b' とで定まる楕円曲線と、ベースポイントと

しての元 G_t とを用いて、有限体 $GF(p)$ 上で定義される楕円曲線上での演算に基づき、離散対数問題を安全性の根拠とする暗号、復号、デジタル署名、デジタル署名検証又は鍵共有を行うことを特徴とする利用装置。

【請求項10】 1つの楕円曲線 E を変換して生成された楕円曲線 E_t を利用する利用装置であって、

前記利用装置は、

楕円曲線 E_t のパラメータ a' 及び b' と、ベースポイントとしての元 G_t とを記憶している記憶手段と、

p と、前記記憶しているパラメータ a' 及び b' とで定まる楕円曲線と、ベースポイントとしての元 G_t とを用いて、有限体 $GF(p)$ 上で定義される楕円曲線上での演算に基づき、離散対数問題を安全性の根拠とする暗号、復号、デジタル署名、デジタル署名検証又は鍵共有を行う利用手段とを備え、

ここで、パラメータ a' 及び b' と、元 G_t とは楕円曲線変換装置により生成され、

前記楕円曲線変換装置は、変換係数取得手段、楕円曲線算出手段を備え、

20 p は素数であり、

楕円曲線 E は、有限体 $GF(p)$ 上で定義され、 $y^2 = x^3 + ax + b$ で表され、

ベースポイントとしての元 G が、楕円曲線 E 上に存在し、 $G = (x_0, y_0)$ で表され、

前記変換係数取得手段は、有限体 $GF(p)$ 上に存在する変換係数 t を取得し、ここで、変換係数 t は、 $t \neq 0$ であり、かつ、 $t^4 \times a \pmod{p}$ は、素数 p と比較して桁数が小さい、という条件を満たし、

前記楕円曲線算出手段は、前記取得された変換係数 t を用いて、次式により、楕円曲線 E_t のパラメータ a' 及び b' と、新たなベースポイントとしての元 G_t とを算出し、

$$a' = a \times t^4,$$

$$b' = b \times t^6,$$

$$x_{t0} = t^2 \times x_0,$$

$$y_{t0} = t^3 \times y_0,$$

ここで、楕円曲線 E_t は、有限体 $GF(p)$ 上で定義され、 $y'^2 = x'^3 + a' \times x' + b'$ で表され、

40 x_{t0} 、 y_{t0} は、それぞれ元 G_t の x 座標値、 y 座標値であることを特徴とする利用装置。

【請求項11】 1つの楕円曲線 E を変換して他の1つの楕円曲線 E_t を生成する楕円曲線変換方法であって、外部から、素数 p と、楕円曲線 E のパラメータ a 及びパラメータ b と、ベースポイントとしての元 G とを受信するステップであって、楕円曲線 E は、有限体 $GF(p)$ 上で定義され、 $y^2 = x^3 + ax + b$ で表され、元 G は、楕円曲線 E 上に存在し、 $G = (x_0, y_0)$ で表される受信ステップと、

50 有限体 $GF(p)$ 上に存在する変換係数 t を取得するス

テップであって、変換係数 t は、 $t \neq 0$ であり、かつ、 $t^4 \times a \pmod{p}$ は、素数 p と比較して桁数が小さい、という条件を満たす変換係数算出ステップと、

前記取得された変換係数 t を用いて、次式により、楕円曲線 E_t のパラメータ a' 及び b' と、新たなベースポイントとしての元 G_t とを算出するステップであって、

$$a' = a \times t^4,$$

$$b' = b \times t^6,$$

$$x_{t0} = t^2 \times x_0,$$

$$y_{t0} = t^3 \times y_0,$$

楕円曲線 E_t は、有限体 $GF(p)$ 上で定義され、

$$y'^2 = x'^3 + a'x' + b'$$

で表され、 x_{t0} 、 y_{t0} は、それぞれ元 G_t の x 座標値、 y 座標値である楕円曲線算出ステップと、

前記算出されたパラメータ a' 及び b' と、元 G_t とを外部へ出力する出力ステップとを含むことを特徴とする楕円曲線変換方法。

【請求項 12】 1つの楕円曲線 E を変換して他の1つの楕円曲線 E_t を生成する楕円曲線変換プログラムを記録しているコンピュータ読み取り可能な記録媒体であって、

前記プログラムは、

外部から、素数 p と、楕円曲線 E のパラメータ a 及びパラメータ b と、ベースポイントとしての元 G とを受信するステップであって、楕円曲線 E は、有限体 $GF(p)$ 上で定義され、 $y^2 = x^3 + ax + b$ で表され、元 G は、楕円曲線 E 上に存在し、 $G = (x_0, y_0)$ で表される受信ステップと、

有限体 $GF(p)$ 上に存在する変換係数 t を取得するステップであって、変換係数 t は、 $t \neq 0$ であり、かつ、 $t^4 \times a \pmod{p}$ は、素数 p と比較して桁数が小さい、という条件を満たす変換係数算出ステップと、

前記取得された変換係数 t を用いて、次式により、楕円曲線 E_t のパラメータ a' 及び b' と、新たなベースポイントとしての元 G_t とを算出するステップであって、

$$a' = a \times t^4,$$

$$b' = b \times t^6,$$

$$x_{t0} = t^2 \times x_0,$$

$$y_{t0} = t^3 \times y_0,$$

楕円曲線 E_t は、有限体 $GF(p)$ 上で定義され、 $y'^2 = x'^3 + a'x' + b'$ で表され、 x_{t0} 、 y_{t0} は、それぞれ元 G_t の x 座標値、 y 座標値である楕円曲線算出ステップと、

前記算出されたパラメータ a' 及び b' と、元 G_t とを外部へ出力する出力ステップとを含むことを特徴とする記録媒体。

【発明の詳細な説明】

【0001】

【発明の属する技術分野】本発明は情報セキュリティ技術としての暗号技術に関し、特に、楕円曲線を用いて実現する暗号・復号技術、デジタル署名・検証技術及び鍵共有技術に関する。

【0002】

【従来の技術】 1. 公開鍵暗号

近年、コンピュータ技術と通信技術とに基づくデータ通信が広く普及してきており、このデータ通信においては、秘密通信方式又はデジタル署名方式が用いられている。ここで、秘密通信方式とは、特定の通信相手以外に通信内容を漏らすことなく通信を行なう方式である。またデジタル署名方式とは、通信相手に通信内容の正当性を示したり、発信者の身元を証明する通信方式である。

【0003】これらの秘密通信方式又はデジタル署名方式には公開鍵暗号とよばれる暗号方式が用いられる。公開鍵暗号は通信相手が多数の時、通信相手ごとに異なる暗号鍵を容易に管理するための方式であり、多数の通信相手と通信を行なうのに不可欠な基盤技術である。公開鍵暗号を用いる秘密通信では、暗号化鍵と復号化鍵とが異なり、復号化鍵は秘密にするが、暗号化鍵は公開する。

【0004】この公開鍵暗号の安全性の根拠として離散対数問題が用いられる。離散対数問題には、代表的なものとして、有限体上で定義されるもの及び楕円曲線上で定義されるものがある。なお、離散対数問題については、ニールコブリッツ著 "ア コウス イン ナンバア セオリイ アンド クリプトグラヒイ" (Neal Koblitz, "A Course in Number theory and Cryptography", Springer-Verlag, 1987) に詳しく述べられている。

2. 楕円曲線上の離散対数問題

楕円曲線上の離散対数問題について、以下に述べる。

【0005】楕円曲線上の離散対数問題とは、 $E(GF(p))$ を有限体 $GF(p)$ 上で定義された楕円曲線とし、楕円曲線 E の位数が大きな素数で割り切れる場合に、楕円曲線 E に含まれる元 G をベースポイントとする。このとき、楕円曲線 E に含まれる与えられた元 Y に対して、

$$(式1) \quad Y = x * G$$

となる整数 x が存在するならば、 x を求めよ、という問題である。

【0006】ここで、 p は素数、 $GF(p)$ は p 個の元を持つ有限体である。また、この明細書において、記号 $*$ は、楕円曲線に含まれる元を複数回加算する演算を示し、 $x * G$ は、次式に示すように、楕円曲線に含まれる元 G を x 回加算することを意味する。

$$x * G = G + G + G + \dots + G$$

離散対数問題を公開鍵暗号の安全性の根拠とするのは、多くの元を有する有限体 $GF(p)$ に対して、上記問題は極めて難しいからである。

3. 楕円曲線上の離散対数問題を応用したエルガマル署

名

以下に、上記楕円曲線上の離散対数問題を応用したエルガマル署名によるデジタル署名方式について、図1を用いて、説明する。

【0007】この図は、上記エルガマル署名によるデジタル署名方式の手順を示すシーケンス図である。ユーザA110、管理センタ120及びユーザB130は、ネットワークで接続されている。pを素数、有限体GF(p)上の楕円曲線をEとする。EのベースポイントをGとし、Eの位数をqとする。つまり、qは、

$$(式2) \quad q * G = 0$$

を満たす最小の正整数である。

【0008】なお、x座標、y座標ともに∞である

(∞, ∞)を無限遠点といい、0で表す。この0は、楕円曲線を群とみたときに、無限遠点が加算における「零元」の役割を果たす。

(1) 管理センタ120による公開鍵の生成

管理センタ120は、予め通知されているユーザA110の秘密鍵xAを用いて、式3に従って、ユーザA110の公開鍵YAを生成する(ステップS141～S142)。

$$(式3) \quad YA = xA * G$$

$$\begin{aligned} (式7) \quad s * R1 &= \{ ((m + rx * xA) / k) * k \} * G \\ &= (m + rx * xA) * G \\ &= m * G + (rx * xA) * G \\ &= m * G + rx * YA \end{aligned}$$

となることから明らかである。

4. 楕円曲線上の点の加算、2倍算の演算による計算量
上記に示した楕円曲線上の離散対数問題を応用したエルガマル署名によるデジタル署名方式における公開鍵の生成、署名生成、署名検証のそれぞれにおいて、楕円曲線上の点の冪倍の演算の計算が行われる。例えば、式3に示す「xA * G」、式4に示す「k * G」、式6に示す「s * R1」、「m * G」、「rx * YA」は、楕円曲線上の点の冪倍の演算である。

【0011】楕円曲線の演算公式については、"Efficient elliptic curve exponentiation" (Miyaji, Ono, and Cohen著, Advances in cryptology-proceedings of I CICS' 97, Lecture notes in computer science, 1997, Springer-verlag, 282-290.) に詳しく説明されている。

【0012】楕円曲線の演算公式について、以下に説明する。楕円曲線の方程式を $y^2 = x^3 + ax + b$ とし、任意の点Pの座標を(x1, y1)とし、任意の点Qの座標を(x2, y2)とする。ここで、R=P+Qで定まる点Rの座標を(x3, y3)とする。

【0013】なお、この明細書において、記号[^]は、冪乗の演算を示し、例えば、2[^]3は、2×2×2を意味する。P≠Qの場合、R=P+Qは、加算の演算とな

*その後、管理センタ120は、素数p、楕円曲線E及びベースポイントGをシステムパラメータとして公開し、また、他のユーザB130にユーザA110の公開鍵YAを公開する(ステップS143～S144)。

【0009】(2) ユーザA110による署名生成
ユーザA110は、乱数kを生成する(ステップS145)。次に、ユーザA110は、

$$(式4) \quad R1 = (rx, ry) = k * G$$

を計算し(ステップS146)、

$$10 \quad (式5) \quad s * k = m + rx * xA \pmod{q}$$

から、sを計算する(ステップS147)。ここで、mは、ユーザA110がユーザB130へ送信するメッセージである。

【0010】さらに、ユーザA110は、得られた(R1, s)を署名としてメッセージmとともに、ユーザB130へ送信する(ステップS148)。

(3) ユーザB130による署名検証

ユーザB130は、

$$(式6) \quad s * R1 = m * G + rx * YA$$

が成立するかどうか判定することにより、送信者であるユーザA110の身元を確認する(ステップS149)。これは、

る。加算の公式を以下に示す。

$$x3 = \{ (y2 - y1) / (x2 - x1) \}^2 - x1 - x2$$

$$30 \quad y3 = \{ (y2 - y1) / (x2 - x1) \} (x1 - x3) - y1$$

P=Qの場合、R=P+Q=P+P=2×Pとなり、R=P+Qは、2倍算の演算となる。2倍算の公式を以下に示す。

【0014】

$$x3 = \{ (3x1^2 + a) / 2y1 \}^2 - 2x1$$

$$y3 = \{ (3x1^2 + a) / 2y1 \} (x1 - x3) - y1$$

なお、上記演算は、楕円曲線が定義される有限体上での演算である。上記に示すように、2項組座標であるアフィン座標、すなわち今まで述べてきた座標において、楕円曲線上の加算演算を行う場合に、楕円曲線上の加算1回につき、1回の有限体上の逆数計算が必要となる。一般に、有限体上の逆数計算は、有限体上での乗算計算と比較して、10倍程度の計算量を必要とする。

【0015】そこで、計算量を削減することを目的として、射影座標と呼ばれる3項組の座標が用いられる。射影座標とは、3項組X、Y、Zからなる座標のことであって、座標(X, Y, Z)と座標(X', Y', Z')とに対して、ある数nが存在して、X' = nX、Y' =

$nY, Z' = nZ$ なる関係があるならば、 $(X, Y, Z) = (X', Y', Z')$ とするものである。

【0016】アフィン座標 (x, y) と射影座標 (X, Y, Z) とは、

$$(x, y) \rightarrow (x, y, 1)$$

$$(X, Y, Z) \rightarrow (X/Y, Y/Z) \quad (Z \neq 0 \text{ のとき})$$

なる関係で、互いに対応している。ここで、記号 \rightarrow は、次に示す意味で用いている。集合 $S1$ の任意の元に、集合 $S2$ の一つの元が対応するとき、 $S1 \rightarrow S2$ と表記する。

【0017】以下、楕円曲線の演算は、すべて、射影座標で行われるものとする。次に、射影座標上の楕円曲線の加算公式、2倍公式について説明する。これらの公式は、もちろん、前に述べたアフィン座標における加算公式、2倍公式と整合性のあるものである。冪倍の演算は、楕円曲線上の点の加算、2倍算の演算の繰り返しによって実現できる。この冪倍の演算のうち、加算の計算量は、楕円曲線のパラメータに依存しないが、2倍算の計算量は、楕円曲線のパラメータに依存する。

【0018】ここでは、 p を160ビットの素数とし、有限体 $GF(p)$ 上の楕円曲線を $E: y^2 = x^3 + ax + b$ とし、楕円曲線 E 上の元 P, Q をそれぞれ、 $P = (X1, Y1, Z1)$ 、 $Q = (X2, Y2, Z2)$ で表すとき、

$$R = (X3, Y3, Z3) = P + Q$$

を以下のようにして、求める。

【0019】(i) $P \neq Q$ の場合

この場合、加算の演算となる。

(step 1-1) 中間値の計算

以下を計算する。

$$(式8) \quad U1 = X1 \times Z2^2$$

$$(式9) \quad U2 = X2 \times Z1^2$$

$$(式10) \quad S1 = Y1 \times Z2^3$$

$$(式11) \quad S2 = Y2 \times Z1^3$$

$$(式12) \quad H = U2 - U1$$

$$(式13) \quad r = S2 - S1$$

(step 1-2) $R = (X3, Y3, Z3)$ の計算

以下を計算する。

$$(式14) \quad X3 = -H^3 - 2 \times U1 \times H^2 + r^2 \quad 40$$

$$(式15) \quad Y3 = -S1 \times H^3 + r \times (U1 \times H^2 - X3)$$

$$(式16) \quad Z3 = Z1 \times Z2 \times H$$

(ii) $P = Q$ の場合 (すなわち、 $R = 2P$)

この場合、2倍算の演算となる。

【0020】(step 2-1) 中間値の計算

以下を計算する。

$$(式17) \quad S = 4 \times X1 \times Y1^2$$

$$(式18) \quad M = 3 \times X1^2 + a \times Z1^4 \quad 50$$

$$(式19) \quad T = -2 \times S + M^2$$

(step 2-2) $R = (X3, Y3, Z3)$ の計算
以下を計算する。

$$(式20) \quad X3 = T$$

$$(式21) \quad Y3 = -8 \times Y1^4 + M \times (S - T)$$

$$(式22) \quad Z3 = 2 \times Y1 \times Z1$$

次に、楕円曲線の加算、2倍算を行う場合の計算量について説明する。ここで、有限体 $GF(p)$ 上の1回の乗算による計算量を1Mul、1回の2乗算による計算量を1Sqで表す。なお、一般のマイクロプロセッサにおいては、1Sq \approx 0.8Mulである。

【0021】上記の例によると、 $P \neq Q$ の場合に示されている楕円曲線上の加算の計算量は、式8～式16において、乗算の回数及び2乗算の回数をカウントすることにより得られ、12Mul+4Sqである。これは、式8、9、10、11、14、15、16における加算の計算量は、それぞれ、1Mul+1Sq、1Mul+1Sq、2Mul、2Mul、2Mul+2Sq、2Mul、2Mulであることから明らかである。

【0022】また、上記の例によると、 $P = Q$ の場合に示されている楕円曲線上の2倍算の計算量は、式17～式22において、乗算の回数及び2乗算の回数をカウントすることにより得られ、4Mul+6Sqである。これは、式17、18、19、21、22における2倍算の計算量は、それぞれ、1Mul+1Sq、1Mul+3Sq、1Sq、1Mul+1Sq、1Mulであることから明らかである。

【0023】なお、上記回数のカウントにおいて、例えば、式14の H^3 については、

$$30 \quad H^3 = H^2 \times H$$

と展開できるので、 H^3 の計算量は、1Mul+1Sqとし、式18の $Z1^4$ については、

$$Z1^4 = (Z1^2)^2$$

と展開できるので、 $Z1^4$ の計算量は、2Sqとする。

【0024】また、式14の H^2 については、前述の H^3 の計算のプロセスにおいて、 H^2 が算出されているので、 H^2 の計算量は再度カウントしない。また、乗算の回数のカウントの際、ある値に小さい値を乗じて行われる乗算の回数は、カウントしない。その理由を以下に説明する。ここで言う小さい値とは、式8～式22において、乗算の対象となる小さい固定値であり、具体的には、2、3、4、8などの値である。これらの値は、多くとも4ビットの2進数で表現できる。一方、その他の変数は、通常、160ビットの値を有している。

【0025】一般に、マイクロプロセッサにおいて、乗数と被乗数との乗算は、被乗数のシフトと加算の繰り返しにより行われる。すなわち、2進数で表現される乗数の各ビット毎に、このビットが1であるならば、2進数

で表現される被乗数の最下位ビットが、このビットの存在する位置に一致するように、被乗数をシフトして、1つのビット列を得る。乗数の全ビットについて、このようにして得られた少なくとも1つのビット列をすべて加算する。

【0026】例えば、160ビットの乗数と160ビットの被乗数との乗算においては、160ビットの被乗数を160回シフトし、160個のビット列を得、得られた160個のビット列を加算する。一方、4ビットの乗数と160ビットの被乗数との乗算においては、160

10 ビットの被乗数を4回シフトし、4個のビット列を得、得られた4個のビット列を加算する。
【0027】乗算は、上記に示すようにして行われるので、乗算がある値に小さい値を乗じて行われる場合には、前記繰り返し回数が少なくなる。従って、その計算量は少ないと見なせるので、乗算の回数にカウントしない。以上説明したように、楕円曲線の2倍算を行う場*

$$(式23) \quad 4 \times a^3 + 27 \times b^2 \neq 0 \pmod{p}$$

選択された a 、 b を用いて、楕円曲線を $E: y^2 = x^3 + ax + b$ とする。

【0029】(step 2) 暗号に適した楕円曲線であるかどうかを判定楕円曲線 E の元の個数 $\#E(GF(p))$ を計算し、

(条件1) $\#E(GF(p))$ が大きな素数で割り切れ、かつ、

(条件2) $\#E(GF(p)) - (p+1) \neq 0, -1$ である場合に、楕円曲線 E を採用する。条件1又は条件2を満たさない場合は、楕円曲線 E を棄却し、step 1に戻って、再度、任意の楕円曲線の選択と、判定とを繰り返す。

【0030】

【発明が解決しようとする課題】上記に説明したように、楕円曲線のパラメータ a として固定的に小さい値を選択すると、楕円曲線の冪倍の演算において計算量を削減できるものの、パラメータを予め固定的に取ることで、暗号に適した安全な楕円曲線を選択しにくいという問題点がある。

【0031】また逆に、上記に説明した楕円曲線の方法を用いて、暗号に適した安全な楕円曲線を選択すると、楕円曲線のパラメータ a として小さい値を選択できるとは限らず、計算量を削減できないという問題点がある。このように、暗号に適した安全な楕円曲線を選択し、その楕円曲線での演算量を削減するためには、相互に矛盾し対立する問題点を有する。

【0032】本発明は、上記に示す問題点を解決し、暗号に適した安全な楕円曲線として任意に選択された楕円曲線を、この楕円曲線と等価な安全性を有し、かつ、計算量を削減できる楕円曲線に変換する楕円曲線変換装置、楕円曲線変換方法、及び楕円曲線変換プログラムを記録している記録媒体を提供することを目的とする。ま

*合において、式18には、楕円曲線のパラメータ a が含まれている。このパラメータ a の値として、例えば、小さい値を採用すると、楕円曲線上の2倍算の計算量は、1Mul分割減で、3Mul+6Sqとなる。なお、加算に関しては、楕円曲線のパラメータを変化させても、計算量は変わらない。

5. 暗号に適した楕円曲線の選択

次に暗号に適した楕円曲線を選択する方法について説明する。なお、その詳細については、「IEEE P1363 Working draft」(1997年2月6日、IEEE発行)に詳しく書かれている。

【0028】暗号に適した楕円曲線は、以下のステップを繰り返すことにより得られる。

(step 1) 任意の楕円曲線の選択

有限体 $GF(p)$ 上の任意のパラメータ a 、 b を選ぶ。ここで、 a 、 b は、式23を満たし、 p は素数である。

$$\neq 0 \pmod{p}$$

た、これにより安全でかつ高速に演算ができる暗号装置、復号装置、デジタル署名装置、デジタル署名検証装置、鍵共有装置などの利用装置及び前記利用装置と前記楕円曲線変換装置とから構成される利用システムを提供することを目的とする。

【0033】

【課題を解決するための手段】上記の問題点を解決するために、本発明は、1つの楕円曲線 E を変換して他の1つの楕円曲線 E_t を生成する楕円曲線変換装置であって、外部から、素数 p と、楕円曲線 E のパラメータ a 及びパラメータ b と、ベースポイントとしての元 G とを受信する手段であって、楕円曲線 E は、有限体 $GF(p)$ 上で定義され、 $y^2 = x^3 + ax + b$ で表され、元 G は、楕円曲線 E 上に存在し、 $G = (x_0, y_0)$ で表される受信手段と、有限体 $GF(p)$ 上に存在する変換係数 t を取得する手段であって、変換係数 t は、 $t \neq 0$ であり、かつ、 $t^4 \times a \pmod{p}$ は、素数 p と比較して桁数が小さい、という条件を満たす変換係数取得手段と、前記取得された変換係数 t を用いて、次式により、楕円曲線 E_t のパラメータ a' 及び b' と、新たなベースポイント元 G_t とを算出する手段であって、 $a' = a \times t^4$ 、 $b' = b \times t^6$ 、 $x_{t0} = t^2 \times x_0$ 、 $y_{t0} = t^3 \times y_0$ 、楕円曲線 E_t は、有限体 $GF(p)$ 上で定義され、 $y'^2 = x'^3 + a' \times x' + b'$ で表され、 x_{t0} 、 y_{t0} は、それぞれ元 G_t の x 座標値、 y 座標値である楕円曲線算出手段と、前記算出されたパラメータ a' 及び b' と、元 G_t とを外部へ出力する出力手段とを備えることを特徴とする。

【0034】ここで、 p は、160ビットの素数であり、前記変換係数取得手段は、 $t^4 \times a \pmod{p}$ が32ビット以下の数になる、という条件を満たす

変換係数 t を取得するように構成してもよい。ここで、前記変換係数取得手段は、 $t^4 \times a \pmod{p}$ が -3 となる、という条件を満たす変換係数 t を取得するように構成してもよい。

【0035】ここで、前記変換係数取得手段は、変数 T として、初期値を -3 とし、初期値以外の値については、桁数の小さい値から大きい値へ順に取ることで、 $T = t^4 \times a \pmod{p}$ という条件を満たすかどうかを判定することとを繰り返すことにより、変換係数 t を取得するように構成してもよい。また、本発明は、1つの楕円曲線 E を変換して他の1つの楕円曲線 E_t を生成する楕円曲線変換装置と、生成された楕円曲線 E_t を利用する利用装置とからなる楕円曲線利用システムであって、前記利用装置は、第1出力手段と第1受信手段と利用手段とを備え、前記楕円曲線変換装置は、第2受信手段と変換係数取得手段と楕円曲線算出手段と第2出力手段とを備え、前記第1出力手段は、素数 p と、楕円曲線 E のパラメータ a 及びパラメータ b と、ベースポイントとしての元 G とを前記楕円曲線変換装置へ出力し、ここで、楕円曲線 E は、有限体 $GF(p)$ 上で定義され、 $y^2 = x^3 + ax + b$ で表され、元 G は、楕円曲線 E 上に存在し、 $G = (x_0, y_0)$ で表され、前記第2受信手段は、前記利用装置から、素数 p と、楕円曲線 E のパラメータ a 及びパラメータ b と、元 G とを受信し、前記変換係数取得手段は、有限体 $GF(p)$ 上に存在する変換係数 t を取得し、ここで、変換係数 t は、 $t \neq 0$ であり、かつ、 $t^4 \times a \pmod{p}$ は、素数 p と比較して桁数が小さい、という条件を満たし、前記楕円曲線算出手段は、前記取得された変換係数 t を用いて、次式により、楕円曲線 E_t のパラメータ a' 及び b' と、新たなベースポイントとしての元 G_t とを算出し、 $a' = a \times t^4$ 、 $b' = b \times t^6$ 、 $x_{t0} = t^2 \times x_0$ 、 $y_{t0} = t^3 \times y_0$ 、ここで、楕円曲線 E_t は、有限体 $GF(p)$ 上で定義され、 $y'^2 = x'^3 + a' \times x' + b'$ で表され、 x_{t0} 、 y_{t0} は、それぞれ元 G_t の x 座標値、 y 座標値であり、前記第2出力手段は、前記算出されたパラメータ a' 及び b' と、元 G_t とを前記利用装置へ出力し、前記第1受信手段は、前記出力されたパラメータ a' 及び b' と、元 G_t とを受信し、前記利用手段は、素数 p と、前記受信したパラメータ a' 及び b' とで定まる楕円曲線と、ベースポイントとしての元 G_t とを用いて、有限体 $GF(p)$ 上で定義される楕円曲線上での演算に基づき、離散対数問題を安全性の根拠とする暗号、復号、デジタル署名、デジタル署名検証又は鍵共有を行うことを特徴とする。

【0036】また、本発明は、第2受信手段と変換係数取得手段と楕円曲線算出手段と第2出力手段とを備え、1つの楕円曲線 E を変換して他の1つの楕円曲線 E_t を生成する楕円曲線変換装置から、前記生成された楕円曲

線 E_t を受信して利用する利用装置であって、前記利用装置は、第1出力手段と第1受信手段と利用手段とを備え、前記第1出力手段は、素数 p と、楕円曲線 E のパラメータ a 及びパラメータ b と、ベースポイントとしての元 G とを前記楕円曲線変換装置へ出力し、ここで、楕円曲線 E は、有限体 $GF(p)$ 上で定義され、 $y^2 = x^3 + ax + b$ で表され、元 G は、楕円曲線 E 上に存在し、 $G = (x_0, y_0)$ で表され、前記第2受信手段は、前記利用装置から、素数 p と、楕円曲線 E のパラメータ a 及びパラメータ b と、元 G とを受信し、前記変換係数取得手段は、有限体 $GF(p)$ 上に存在する変換係数 t を取得し、ここで、変換係数 t は、 $t \neq 0$ であり、かつ、 $t^4 \times a \pmod{p}$ は、素数 p と比較して桁数が小さい、という条件を満たし、前記楕円曲線算出手段は、前記取得された変換係数 t を用いて、次式により、楕円曲線 E_t のパラメータ a' 及び b' と、元 G_t とを算出し、 $a' = a \times t^4$ 、 $b' = b \times t^6$ 、 $x_{t0} = t^2 \times x_0$ 、 $y_{t0} = t^3 \times y_0$ 、ここで、楕円曲線 E_t は、有限体 $GF(p)$ 上で定義され、 $y'^2 = x'^3 + a' \times x' + b'$ で表され、 x_{t0} 、 y_{t0} は、それぞれ元 G_t の x 座標値、 y 座標値であり、前記第2出力手段は、前記算出されたパラメータ a' 及び b' と、元 G_t とを前記利用装置へ出力し、前記第1受信手段は、前記出力されたパラメータ a' 及び b' と、元 G_t とを受信し、前記利用手段は、素数 p と、前記受信したパラメータ a' 及び b' とで定まる楕円曲線と、ベースポイントとしての元 G_t とを用いて、有限体 $GF(p)$ 上で定義される楕円曲線上での演算に基づき、離散対数問題を安全性の根拠とする暗号、復号、デジタル署名、デジタル署名検証又は鍵共有を行うことを特徴とする。

【0037】

【発明の実施の形態】本発明に係る1つの実施の形態としての楕円曲線変換装置200について、図を用いて説明する。

1. 楕円曲線変換装置200の構成

楕円曲線変換装置200は、図2に示すように、パラメータ受信部210、変換係数取得部220、変換楕円曲線算出部230、パラメータ送出部240から構成される。

(パラメータ受信部210) パラメータ受信部210は、外部の装置から、楕円曲線のパラメータ a 、 b と、前記楕円曲線上の元 G と、素数 p とを受信する。ここで、 p は、160ビットの素数である。

【0038】前記外部の装置には、公開鍵暗号を用いる暗号装置、復号装置、デジタル署名装置、デジタル署名検証装置、鍵共有装置などが含まれる。前記外部の装置は、公開鍵暗号の安全性の根拠として楕円曲線上の離散対数問題を用いており、前記楕円曲線を有している。ここで、有限体 $GF(p)$ 上の任意に構成される前記楕円

曲線は、 $E: y^2 = x^3 + ax + b$ で示され、前記元Gは、前記楕円曲線の任意に構成され、 $G = (x_0, y_0)$ で表される。

(変換係数取得部220) 変換係数取得部220は、図3に示すように、関数 $T(i)$ を有する。関数 $T(i)$ は、 $i=0, 1, 2, 3, 4$ のとき、それぞれ、 $-3, 1, -1, 2, -2$ の値を有する。また、関数 $T(i)$ は、 $i=5, 6, 7, 8, 9, 10, 11, \dots$ のとき、 $3, 4, -4, 5, -5, 6, -6, \dots$ の値を有する。

[0039] 変換係数取得部220は、 $i=0$ から始めて、 i の値を1ずつ加算しながら、

(式24) $-2^{31}+1 \leq T(i) \leq 2^{31}-1$ を満たし、かつ、

(式25) $T(i) = t^4 \times a \pmod{p}$ となる変換係数 t であって、有限体 $GF(p)$ 上の元である変換係数 t を算出する。

[0040] ここで、式24は、 $T(i)$ が32ビット以下になるように取られることを示している。なお、関数 $T(i)$ は、 $i=0$ のときに、 -3 の値を有しており、変換係数取得部220は、 $i=0$ から始めて、 i の値を1ずつ加算しながら、関数 $T(i)$ の値を参照するので、最初に -3 の値が参照される。

[0041] また、関数 $T(i)$ は、 $i=0$ のときに、 -3 の値を有していることを除いて、絶対値の小さい値から大きい値へと順に値を有しているため、絶対値の小さい値から順に参照することができる。(変換楕円曲線算出部230) 変換楕円曲線算出部230は、有限体 $GF(p)$ 上に構成される変換楕円曲線 $E_t: y'^2 = x'^3 + a' \times x' + b'$ のパラメータ a', b' をそれぞれ次のようにして、算出する。

(式26) $a' = a \times t^4$

(式27) $b' = b \times t^6$

また、変換楕円曲線算出部230は、元Gに対応する変換楕円曲線 E_t 上の元 $G_t = (x_t, y_t)$ を次のようにして、算出する。

(式28) $x_t = t^2 \times x_0$

(式29) $y_t = t^3 \times y_0$

なお、楕円曲線 E 上の任意の点は、以上のようにして生成されたパラメータ a', b' で定まる変換楕円曲線 E_t 上の1点に変換される。

(パラメータ送出部240) パラメータ送出部240は、前記算出された変換楕円曲線 E_t のパラメータ a', b' と、元 $G_t(x_t, y_t)$ とを前記外部の装置へ送出する。

2. 楕円曲線変換装置200の動作

(楕円曲線変換装置200の全体の動作) 楕円曲線変換装置200の全体の動作について、図4に示すフローチャートを用いて、説明する。

[0042] パラメータ受信部210は、外部の装置から素数 p と、楕円曲線 E のパラメータ a 及び b を受け取り(ステップS301)、前記楕円曲線上の元Gを受け取る(ステップS302)。次に、変換係数取得部220は、変換係数 t を算出し(ステップS303)、変換楕円曲線算出部230は、有限体 $GF(p)$ 上に構成される変換楕円曲線 E_t のパラメータ a', b' と、元Gに対応する変換楕円曲線 E_t 上の元 $G_t = (x_t, y_t)$ を算出し(ステップS304)、パラメータ送出部240は、前記算出された変換楕円曲線 E_t のパラメータ a', b' と、元 $G_t(x_t, y_t)$ とを前記外部の装置へ送出する(ステップS305)。

(変換係数取得部220の動作) 次に、変換係数取得部220の動作について、図5に示すフローチャートを用いて説明する。

[0043] 変換係数取得部220は、 i に0の値を設定する(ステップS311)。次に、変換係数取得部220は、関数 $T(i)$ について、 $-2^{31}+1 \leq T(i) \leq 2^{31}-1$

を満たすかどうかを判定し、満たさないならば(ステップS312)、処理を終了する。満たすならば(ステップS312)、

$T(i) = t^4 \times a \pmod{p}$

となる変換係数 t を算出し(ステップS313)、算出された変換係数 t が有限体 $GF(p)$ 上の元であるかどうかを判定し、有限体 $GF(p)$ 上の元であるならば(ステップS314)、処理を終了する。有限体 $GF(p)$ 上の元でないならば(ステップS314)、 i に1を加算し(ステップS315)、再度ステップS312へ制御を戻す。

(変換楕円曲線算出部230の動作) 次に、変換楕円曲線算出部230の動作について、図6に示すフローチャートを用いて説明する。

[0044] 変換楕円曲線算出部230は、有限体 $GF(p)$ 上に構成される変換楕円曲線 E_t のパラメータ $a' = a \times t^4$ を算出し(ステップS321)、パラメータ $b' = b \times t^6$ を算出する(ステップS322)。また、変換楕円曲線算出部230は、元Gに対応する変換楕円曲線 E_t 上の元 $G_t = (x_t, y_t)$ として、 $x_t = t^2 \times x_0$ を算出し(ステップS323)、 $y_t = t^3 \times y_0$ を算出する(ステップS324)。

3. 変換楕円曲線 E_t と楕円曲線 E とが同型である証明
ここでは、変換楕円曲線 $E_t: y'^2 = x'^3 + a' \times x' + b'$ と、楕円曲線 $E: y^2 = x^3 + ax + b$ とが同型であることを証明する。なお、以下において、楕円曲線上の演算は、アフィン座標のものを取り扱う。

[0045] 楕円曲線 E 上の任意の点 $P(x_0, y_0)$ を取る。このとき、点 P は、 E 上の点であるから、

(式30) $y_0'^2 = x_0'^3 + a x_0' + b$
を満たしている。この変換により、点Pは、点P' (x_0' , y_0') = ($t^2 x_0$, $t^3 y_0$) に変換される。

【0046】ここで、式30の両辺に、 t^6 をかけると、

$$t^6 y_0'^2 = t^6 x_0'^3 + t^6 a x_0' + t^6 b$$

が得られる。この式は、次のように変形できる。

$$(t^3 y_0')^2 = (t^2 x_0')^3 + a t^4 x_0' + b t^6 \quad 10$$

この式は、さらに、次のように変形できる。

$$【0047】 y_0'^2 = x_0'^3 + a t^4 x_0' + b t^6$$

これは、点P' が、変換楕円曲線E t 上にあることを示している。また、楕円曲線E 上の点から変換楕円曲線E t 上の点への変換は、

$$(x, y) \rightarrow (x', y') = (t^2 x, t^3 y)$$

により示される。ここで、 $t \neq 0$ であるので、以下に示す変換楕円曲線E t 上の点から楕円曲線E 上への点の変換は、上記変換の逆変換であることは容易に分かる。

$$【0048】 (x', y') \rightarrow (x, y) = (x' / (t^2), y' / (t^3))$$

以上のことから、楕円曲線E 上の点と変換楕円曲線E t 上の点とは、1対1に対応していることが分かる。次に、楕円曲線E 上の任意の異なる2点P = (x_1 , y_1)、Q = (x_2 , y_2) を取り、R = P + Q とし、R の座標を (x_3 , y_3) とする。このとき、前に述べたように、

* 30

$$\begin{aligned} x_3'' &= \{ (t^3 x_2 y_1 - t^3 x_1 y_2) / (t^2 x_2 - t^2 x_1) \}^2 - t^2 x_1 - t^2 x_2 \\ &= \{ t (y_2 - y_1) / (x_2 - x_1) \}^2 - t^2 x_1 - t^2 x_2 \\ &= t^2 \times \{ \{ (y_2 - y_1) / (x_2 - x_1) \}^2 - x_1 - x_2 \} \\ &= t^2 x_3 \\ &= x_3' \\ y_3'' &= \{ (t^3 x_2 y_2 - t^3 x_1 y_1) / (t^2 x_2 - t^2 x_1) \} \times (t^2 x_1 - t^2 x_3) \\ &\quad - t^3 x_1 y_1 \\ &= \{ t (y_2 - y_1) / (x_2 - x_1) \} \times t^2 (x_1 - x_3) \\ &\quad - t^3 x_1 y_1 \\ &= t^3 \times \{ \{ (y_2 - y_1) / (x_2 - x_1) \} \times (x_1 - x_3) - y_1 \} \\ &= t^3 y_3 \\ &= y_3' \end{aligned}$$

となる。従って、R' と R'' とは、等しい点を表していることが分かる。

【0052】以上により、楕円曲線上の加算演算は、本変換においても、保存されることが分かる。次に、Q =

$$* x_3 = \{ (y_2 - y_1) / (x_2 - x_1) \}^2 - x_1 - x_2$$

$$y_3 = \{ (y_2 - y_1) / (x_2 - x_1) \} (x_1 - x_3) - y_1$$

となる。

【0049】次に、本発明で用いた楕円曲線の変換により、楕円曲線E 上の点P、点Q、点Rが、それぞれ、変換楕円曲線E t 上の点P'、点Q'、点R' に変換されるものとする。ここで、点P'、点Q'、点R' の座標をそれぞれ、(x_1' , y_1')、(x_2' , y_2')、(x_3' , y_3') とする。このとき、

$$x_1' = t^2 x_1$$

$$y_1' = t^3 y_1$$

$$x_2' = t^2 x_2$$

$$y_2' = t^3 y_2$$

$$x_3' = t^2 x_3$$

$$y_3' = t^3 y_3$$

が成り立つ。

【0050】また、R'' = P' + Q' とする。ただし、ここにおける加算演算は、変換楕円曲線E t 上の加算を示す。R'' の座標を (x_3'' , y_3'') とすると、

$$x_3'' = \{ (y_2' - y_1') / (x_2' - x_1') \}^2 - x_1' - x_2'$$

$$y_3'' = \{ (y_2' - y_1') / (x_2' - x_1') \} (x_1' - x_3') - y_1'$$

となる。

【0051】ここで、この式における x_1' 、 y_1' 、 x_2' 、 y_2' を、それぞれ、上記のように、 x_1 、 y_1 、 x_2 、 y_2 を用いて表すと、

P の場合について、すなわち、2倍公式について、述べる。前と同様に、楕円曲線E 上の任意の点P に対して、R = P + P とし、本発明で用いた楕円曲線の変換により、楕円曲線E 上の点P、点Rが、それぞれ、変換楕円

曲線E t上の点P'、点R'に変換されるものとする。
ここで、点P、点R、点P'、点R'の座標をそれぞれ、 (x_1, y_1) 、 (x_3, y_3) 、 (x_1', y_1') 、 (x_3', y_3') とする。このとき、

$$x_1' = t^2 \times x_1$$

$$y_1' = t^3 \times y_1$$

$$x_3' = t^2 \times x_3$$

$$y_3' = t^3 \times y_3$$

が成り立つ。また、 $R'' = P' + P'$ とする。

$$\begin{aligned} x_3'' &= \{ ((t^2 \times x_1)^2 + a) / (2 \times t^3 \times y_1) \}^2 - 2 \times t^2 \times x_1 \\ &= t^2 \{ ((3x_1^2 + a) / y_1) \}^2 - t^2 \times 2 \times x_1 \\ &= t^2 \{ ((3x_1^2 + a) / y_1) \}^2 - 2 \times x_1 \\ &= t^2 \times x_3 \\ &= \{ t(y_2 - y_1) / (x_2 - x_1) \}^2 - t^2 \times x_1 \\ &\quad - t^2 \times x_2 \\ &= t^2 \{ ((y_2 - y_1) / (x_2 - x_1)) \}^2 \\ &\quad - x_1 - x_2 \\ &= t^2 \times x_3 \\ &= x_3' \end{aligned}$$

$$\begin{aligned} y_3'' &= \{ ((t^2 \times x_1)^2 + a) / (2 \times t^3 \times y_1) \} \\ &\quad \times (t^2 \times x_1 - t^2 \times x_3) - t^3 \times y_1 \\ &= t^3 \{ ((3x_1^2 + a) / y_1) \} (x_1 - x_3) \\ &\quad - t^3 \times y_1 \\ &= t^3 \{ ((3x_1^2 + a) / y_1) \} (x_1 - x_3) - y_1 \\ &= t^3 \times y_3 \\ &= y_3' \end{aligned}$$

となる。従って、R'とR''とは、等しい点を表していることが分かる。

【0054】以上により、楕円曲線上の2倍演算は、本変換においても、保存されることが分かる。以上に述べたことにより、楕円曲線Eと、本発明において用いる変換により生成された変換楕円曲線E tとは、同型であることが証明できた。

4. 変換楕円曲線E tを用いる場合の計算量の評価
上記の実施の形態によると、変換楕円曲線E tのパラメータa'は、32ビット以下になるように取られるので、式18の計算量は、3Sqとなる。従って、楕円曲線上の加算の計算量は、12Mul+4Sqとなり、2倍算の計算量は、3Mul+6Sqとなる。このように、楕円曲線Eのパラメータaが、160ビットに近い値である場合とと比較すると2倍算において、1Mul分の計算量が削減できることが分かる。

【0055】上記に述べたように、関数T(i)は、i=0のときに、-3の値を有していることを除いて、絶対値の小さい値から大きい値へと順に値を有しており、絶対値の小さい値から順に参照することができるので、より計算量の少ない変換楕円曲線から順に、適切な変換楕円曲線を選んでいくことができる。また、上記の実施の形態によると、変換楕円曲線E tのパラメータa'

*【0053】ただし、ここにおける2倍演算は、変換楕円曲線E t上の2倍演算を示す。点R''の座標を (x_3'', y_3'') とすると、

$$x_3'' = \{ ((3x_1'^2 + a) / 2y_1') \}^2 - 2x_1'$$

$$y_3'' = \{ ((3x_1'^2 + a) / 2y_1') \} (x_1' - x_3') - y_1'$$

となる。ここで、 x_1' 、 y_1' をそれぞれ、 x_1 、 y_1

* 1を用いて上記のように表すと、

$$\begin{aligned} M &= 3 \times X_1^2 + a' \times Z_1^4 \\ &= 3 \times X_1^2 - 3 \times Z_1^4 \\ &= 3 \times (X_1 + Z_1^2) \times (X_1 - Z_1^2) \end{aligned}$$

と変形できる。

【0056】最後の式において、計算量は、1Mul+1Sqとなる。従って、楕円曲線上の加算の計算量は、12Mul+4Sqとなり、2倍算の計算量は、4Mul+4Sqとなる。このように、従来と比較すると2倍算において、2Sq分の計算量が削減できることが分かる。上記に述べたように、関数T(i)は、i=0のときに、-3の値を有しており、変換係数取得部220は、i=0から始めて、iの値を1ずつ加算しながら、関数T(i)の値を参照するので、最初に-3の値が参照される。従って、2倍算において、従来との比較で2Sq分の計算量が削減できる場合が、最初に検証されるので、最も適切な変換楕円曲線を1回で検出できる可能性がある。

【0057】このため、本実施の形態に示す変換楕円曲線を用いると、楕円曲線上の計算を高速化することができる。

5. 変形例

50 変換係数取得部220は、次のようにして、変換係数t

を決定してもよい。変換係数取得部220は、乱数発生部を備えており、前記乱数発生部は、有限体GF(p) *

$$(式31) \quad -2^{31}+1 \leq u^4 \times a \pmod{p} \leq 2^{31}-1$$

を満たすかどうかを判定する。元uが式31を満たすと判定された場合は、元uを変換係数tとして採用する。元uが式31を満たさないと判定された場合は、再度、前記乱数発生部は、ランダムに元uを発生し、変換係数取得部220は、元uが、式31を満たすかどうかを判定する。

【0058】変換係数取得部220は、式31を満たす元uが見つかるまで、前記乱数発生部による元uの発生と式31を満たすかどうかの判定を繰り返す。また、変換係数取得部220は、式31の代わりに、

$$(式32) \quad u^4 \times a \pmod{p} = -3$$

を用いるとしてもよい。

6. 楕円曲線変換装置200の適用例

上記に説明した楕円曲線変換装置200を適用する鍵共有システムを図7に示すシーケンス図を用いて説明する。

【0059】ユーザA450、管理センタ460及びユーザB470は、ネットワークで接続されている。

(1) 管理センタ460による楕円曲線の選択

管理センタ460は、素数pを選択し、有限体GF(p)上の楕円曲線Eを選択し、EのベースポイントをGとし、Eの位数をqとする(ステップS411)。つまり、qは、

$$(式2) \quad q * G = 0$$

を満たす最小の正整数である。

【0060】ここで、E: $y^2 = x^3 + ax + b$ であり、 $G = (x_0, y_0)$ である。次に、管理センタ460は、p、E、Gを楕円曲線変換装置200へ送出する(ステップS412)。

【0061】(2) 楕円曲線変換装置200による変換楕円曲線の生成

楕円曲線変換装置200は、変換楕円曲線Etを算出し、元Gtを算出する(ステップS421)。ここで、 $Et: y'^2 = x'^3 + a'x' + b'$ 、 $a' = a \times t^4$ 、 $b' = b \times t^6$ 、 $Gt = (x_t0, y_t0)$ 、 $x_t0 = t^2 \times x_0$ 、 $y_t0 = t^3 \times y_0$ である。

【0062】次に、楕円曲線変換装置200は、Et、Gtを管理センタ460へ送出する(ステップS422)。管理センタ460は、P、Et、Gtを各ユーザへ送出する(ステップS413)。

(3) ユーザによる秘密鍵の設定と公開鍵の生成
ユーザA450は、秘密鍵xAを設定し(ステップS401)、ユーザB470は、秘密鍵xBを設定する(ステップS431)。

*上の元u (u ≠ 0) をランダムに発生する。次に、変換係数取得部220は、元uが、

【0063】ユーザA450は、次式により、公開鍵YAを算出し(ステップS402)、公開鍵YAをユーザB470へ送出する(ステップS403)。

$$YA = xA * Gt$$

また、ユーザB470は、次式により、公開鍵YBを算出し(ステップS432)、公開鍵YBをユーザA450へ送出する(ステップS433)。

$$【0064】 YB = xB * Gt$$

(4) 各ユーザによる共有鍵の生成

ユーザA450は、共有鍵をxA * YBにより算出する(ステップS404)。また、ユーザB470は、共有鍵をxB * YAにより算出する(ステップS434)。

【0065】ここで、ユーザA450により算出された共有鍵xA * YBは、

$$xA * YB = (xA \times xB) * Gt$$

のように変形できる。また、ユーザB470により算出された共有鍵xB * YAは、

$$\begin{aligned} xB * YA &= (xB \times xA) * Gt \\ &= (xA \times xB) * Gt \end{aligned}$$

のように変形できる。

【0066】従って、ユーザA450により算出された共有鍵xA * YBと、ユーザB470により算出された共有鍵xB * YAとが同じものであることは、明らかである。7. その他の変形例別の実施の形態の一つは、上記により示される楕円曲線変換方法であるとしてもよい。前記楕円曲線変換方法をコンピュータに実行させる楕円曲線変換プログラムを含むコンピュータ読み取り可能な記録媒体としてもよい。さらに、前記楕円曲線変換プログラムを通信回線を介して伝送するとしてもよい。

【0067】また、上記に説明した楕円曲線変換装置を、暗号装置、復号装置、又は暗号装置と復号装置とからなる暗号システムに適用してもよい。また、上記に説明した楕円曲線変換装置を、デジタル署名装置、デジタル署名検証装置、又はデジタル署名装置とデジタル署名検証装置とからなるデジタル署名システムに適用してもよい。

【0068】また、暗号装置、復号装置、デジタル署名装置、デジタル署名検証装置、又は鍵共有装置は、楕円曲線変換装置により算出された楕円曲線のパラメータa'、b'と元Gtとを予め記憶しており、記憶している楕円曲線のパラメータa'、b'と元Gtとを用いて、暗号、復号、デジタル署名、デジタル署名検証、又は鍵共有を行うとしてもよい。

【0069】また、上記に示す実施の形態及びその複数の変形例を組み合わせてもよい。

【0070】

【発明の効果】本発明は、1つの楕円曲線Eを変換して

他の1つの楕円曲線 E_t を生成する楕円曲線変換装置であって、外部から、素数 p と、楕円曲線 E のパラメータ a 及びパラメータ b と、ベースポイントとしての元 G とを受信する手段であって、楕円曲線 E は、有限体 $GF(p)$ 上で定義され、 $y^2 = x^3 + ax + b$ で表され、元 G は、楕円曲線 E 上に存在し、 $G = (x_0, y_0)$ で表される受信手段と、有限体 $GF(p)$ 上に存在する変換係数 t を取得する手段であって、変換係数 t は、 $t \neq 0$ であり、かつ、 $t^4 \times a \pmod{p}$ は、素数 p と比較して桁数が小さい、という条件を満たす変換係数取得手段と、前記取得された変換係数 t を用いて、次式により、楕円曲線 E_t のパラメータ a' 及び b' と、新たなベースポイント元 G_t とを算出する手段であって、 $a' = a \times t^4$ 、 $b' = b \times t^6$ 、 $x_t = t^2 \times x_0$ 、 $y_t = t^3 \times y_0$ 、楕円曲線 E_t は、有限体 $GF(p)$ 上で定義され、 $y'^2 = x'^3 + a' \times x' + b'$ で表され、 x_t 、 y_t は、それぞれ元 G_t の x 座標値、 y 座標値である楕円曲線算出手段と、前記算出されたパラメータ a' 及び b' と、元 G_t とを外部へ出力する出力手段とを備える。

【0071】この構成によると、ランダムに構成された楕円曲線と同じ安全性を有し、利用装置において高速な演算を可能にする楕円曲線を提供することができ、その実用的価値は非常に大きい。ここで、 p は、160ビットの素数であり、前記変換係数取得手段は、 $t^4 \times a \pmod{p}$ が32ビット以下の数になる、という条件を満たす変換係数 t を取得するとしてもよい。

【0072】この楕円曲線変換装置により変換された楕円曲線を利用装置において用いると、楕円曲線上の2倍算において、変換前の楕円曲線のパラメータ a が、160ビットに近い値を取る場合と比較して、1Mul分の計算量が削減できることが分かる。ここで、前記変換係数取得手段は、 $t^4 \times a \pmod{p}$ が-3となる、という条件を満たす変換係数 t を取得するとしてもよい。

【0073】この楕円曲線変換装置により変換された楕円曲線を利用装置において用いると、楕円曲線上の2倍算において、従来と比較して、2Sq分の計算量が削減できることが分かる。ここで、前記変換係数取得手段は、変数 T として、初期値を-3とし、初期値以外の値については、桁数の小さい値から大きい値へ順に取ることと、 $T = t^4 \times a \pmod{p}$ という条件を満たすかどうかを判定することとを繰り返すことにより、変換係数 t を取得するとしてもよい。

【0074】この構成によると、関数 $T(i)$ は、 $i = 0$ のときに、-3の値を有しており、変換係数取得部220は、 $i = 0$ から始めて、 i の値を1ずつ加算しながら、関数 $T(i)$ の値を参照するので、最初に-3の値が参照される。従って、2倍算において、従来との比較

で2Sq分の計算量が削減できる場合が、最初に検証されるので、最も適切な変換楕円曲線を1回で検出できる可能性がある。また、関数 $T(i)$ は、 $i = 0$ のときに、-3の値を有していることを除いて、絶対値の小さい値から大きい値へと順に値を有しており、絶対値の小さい値から順に参照することができるので、より計算量の少ない変換楕円曲線から順に、適切な変換楕円曲線を選んでいくことができる。

【0075】また、本発明は、1つの楕円曲線 E を変換して他の1つの楕円曲線 E_t を生成する楕円曲線変換装置と、生成された楕円曲線 E_t を利用する利用装置とからなる楕円曲線利用システムであって、前記利用装置は、第1出力手段と第1受信手段と利用手段とを備え、前記楕円曲線変換装置は、第2受信手段と変換係数取得手段と楕円曲線算出手段と第2出力手段とを備え、前記第1出力手段は、素数 p と、楕円曲線 E のパラメータ a 及びパラメータ b と、ベースポイントとしての元 G とを前記楕円曲線変換装置へ出力し、ここで、楕円曲線 E は、有限体 $GF(p)$ 上で定義され、 $y^2 = x^3 + ax + b$ で表され、元 G は、楕円曲線 E 上に存在し、 $G = (x_0, y_0)$ で表され、前記第2受信手段は、前記利用装置から、素数 p と、楕円曲線 E のパラメータ a 及びパラメータ b と、元 G とを受信し、前記変換係数取得手段は、有限体 $GF(p)$ 上に存在する変換係数 t を取得し、ここで、変換係数 t は、 $t \neq 0$ であり、かつ、 $t^4 \times a \pmod{p}$ は、素数 p と比較して桁数が小さい、という条件を満たし、前記楕円曲線算出手段は、前記取得された変換係数 t を用いて、次式により、楕円曲線 E_t のパラメータ a' 及び b' と、新たなベースポイントとしての元 G_t とを算出し、 $a' = a \times t^4$ 、 $b' = b \times t^6$ 、 $x_t = t^2 \times x_0$ 、 $y_t = t^3 \times y_0$ 、ここで、楕円曲線 E_t は、有限体 $GF(p)$ 上で定義され、 $y'^2 = x'^3 + a' \times x' + b'$ で表され、 x_t 、 y_t は、それぞれ元 G_t の x 座標値、 y 座標値であり、前記第2出力手段は、前記算出されたパラメータ a' 及び b' と、元 G_t とを前記利用装置へ出力し、前記第1受信手段は、前記出力されたパラメータ a' 及び b' と、元 G_t とを受信し、前記利用手段は、素数 p と、前記受信したパラメータ a' 及び b' とで定まる楕円曲線と、ベースポイントとしての元 G_t とを用いて、有限体 $GF(p)$ 上で定義される楕円曲線上での演算に基づき、離散対数問題を安全性の根拠とする暗号、復号、デジタル署名、デジタル署名検証又は鍵共有を行う。

【0076】この構成によると、ランダムに構成された楕円曲線と同じ安全性を有し、高速な演算を可能にする楕円曲線を利用することができ、その実用的価値は非常に大きい。ここで、 p は、160ビットの素数であり、前記変換係数取得手段は、 $t^4 \times a \pmod{p}$ が32ビット以下の数になる、という条件を満たす変換

係数 t を取得するとしてもよい。

【0077】この構成によると、変換された楕円曲線を用いるので、楕円曲線上の2倍算において、変換前の楕円曲線のパラメータ a が、160ビットに近い値を取る場合と比較して、1Mul分の計算量が削減できることが分かる。ここで、前記変換係数取得手段は、 $t^4 \times a \pmod{p}$ が-3となる、という条件を満たす変換係数 t を取得するとしてもよい。

【0078】この構成によると、変換された楕円曲線を用いるので、楕円曲線上の2倍算において、従来と比較して、2Sq分の計算量が削減できることが分かる。ここで、前記変換係数取得手段は、変数 T として、初期値を-3とし、初期値以外の値については、桁数の小さい値から大きい値へ順に取ることと、 $T = t^4 \times a \pmod{p}$ という条件を満たすかどうかを判定することとを繰り返すことにより、変換係数 t を取得するとしてもよい。

【0079】この構成によると、関数 $T(i)$ は、 $i=0$ のときに、-3の値を有しており、変換係数取得部220は、 $i=0$ から始めて、 i の値を1ずつ加算しながら、関数 $T(i)$ の値を参照するので、最初に-3の値が参照される。従って、2倍算において、従来との比較で2Sq分の計算量が削減できる場合が、最初に検証されるので、最も適切な変換楕円曲線を1回で検出できる可能性がある。また、関数 $T(i)$ は、 $i=0$ のときに、-3の値を有していることを除いて、絶対値の小さい値から大きい値へと順に値を有しており、絶対値の小さい値から順に参照することができるので、より計算量の少ない変換楕円曲線から順に、適切な変換楕円曲線を選んでいくことができる。

【0080】また、本発明は、第2受信手段と変換係数取得手段と楕円曲線算出手段と第2出力手段とを備え、1つの楕円曲線 E を変換して他の1つの楕円曲線 E_t を生成する楕円曲線変換装置から、前記生成された楕円曲線 E_t を受信して利用する利用装置であって、前記利用装置は、第1出力手段と第1受信手段と利用手段とを備え、前記第1出力手段は、素数 p と、楕円曲線 E のパラメータ a 及びパラメータ b と、ベースポイントとしての元 G とを前記楕円曲線変換装置へ出力し、ここで、楕円曲線 E は、有限体 $GF(p)$ 上で定義され、 $y^2 = x^3 + ax + b$ で表され、元 G は、楕円曲線 E 上に存在し、 $G = (x_0, y_0)$ で表され、前記第2受信手段は、前記利用装置から、素数 p と、楕円曲線 E のパラメータ a 及びパラメータ b と、元 G とを受信し、前記変換係数取得手段は、有限体 $GF(p)$ 上に存在する変換係数 t を取得し、ここで、変換係数 t は、 $t \neq 0$ であり、かつ、 $t^4 \times a \pmod{p}$ は、素数 p と比較して桁数が小さい、という条件を満たし、前記楕円曲線算出手段は、前記取得された変換係数 t を用いて、次式により、楕円曲線 E_t のパラメータ a' 及び b' と、元 G_t

とを算出し、 $a' = a \times t^4$ 、 $b' = b \times t^6$ 、 $x_{t0} = t^2 \times x_0$ 、 $y_{t0} = t^3 \times y_0$ 、ここで、楕円曲線 E_t は、有限体 $GF(p)$ 上で定義され、 $y'^2 = x'^3 + a' \times x' + b'$ で表され、 x_{t0} 、 y_{t0} は、それぞれ元 G_t の x 座標値、 y 座標値であり、前記第2出力手段は、前記算出されたパラメータ a' 及び b' と、元 G_t とを前記利用装置へ出力し、前記第1受信手段は、前記出力されたパラメータ a' 及び b' と、元 G_t とを受信し、前記利用手段は、素数 p と、前記受信したパラメータ a' 及び b' とで定まる楕円曲線と、ベースポイントとしての元 G_t とを用いて、有限体 $GF(p)$ 上で定義される楕円曲線上での演算に基づき、離散対数問題を安全性の根拠とする暗号、復号、デジタル署名、デジタル署名検証又は鍵共有を行う。

【0081】この構成によると、ランダムに構成された楕円曲線と同じ安全性を有し、高速な演算を可能にする楕円曲線を利用することができ、その実用的価値は非常に大きい。また、本発明は、1つの楕円曲線 E を変換して生成された楕円曲線 E_t を利用する利用装置であって、前記利用装置は、楕円曲線 E_t のパラメータ a' 及び b' と、ベースポイントとしての元 G_t とを記憶している記憶手段と、 p と、前記記憶しているパラメータ a' 及び b' とで定まる楕円曲線と、ベースポイントとしての元 G_t とを用いて、有限体 $GF(p)$ 上で定義される楕円曲線上での演算に基づき、離散対数問題を安全性の根拠とする暗号、復号、デジタル署名、デジタル署名検証又は鍵共有を行う利用手段とを備え、ここで、パラメータ a' 及び b' と、元 G_t とは楕円曲線変換装置により生成され、前記楕円曲線変換装置は、変換係数取得手段、楕円曲線算出手段を備え、 p は素数であり、楕円曲線 E は、有限体 $GF(p)$ 上で定義され、 $y^2 = x^3 + ax + b$ で表され、ベースポイントとしての元 G が、楕円曲線 E 上に存在し、 $G = (x_0, y_0)$ で表され、前記変換係数取得手段は、有限体 $GF(p)$ 上に存在する変換係数 t を取得し、ここで、変換係数 t は、 $t \neq 0$ であり、かつ、 $t^4 \times a \pmod{p}$ は、素数 p と比較して桁数が小さい、という条件を満たし、前記楕円曲線算出手段は、前記取得された変換係数 t を用いて、次式により、楕円曲線 E_t のパラメータ a' 及び b' と、新たなベースポイントとしての元 G_t とを算出し、 $a' = a \times t^4$ 、 $b' = b \times t^6$ 、 $x_{t0} = t^2 \times x_0$ 、 $y_{t0} = t^3 \times y_0$ 、ここで、楕円曲線 E_t は、有限体 $GF(p)$ 上で定義され、 $y'^2 = x'^3 + a' \times x' + b'$ で表され、 x_{t0} 、 y_{t0} は、それぞれ元 G_t の x 座標値、 y 座標値である。

【0082】この構成によると、ランダムに構成された楕円曲線と同じ安全性を有し、高速な演算を可能にする楕円曲線を利用することができ、その実用的価値は非常に大きい。また、本発明は、1つの楕円曲線 E を変換し

て他の1つの楕円曲線E tを生成する楕円曲線変換方法であって、外部から、素数pと、楕円曲線Eのパラメータa及びパラメータbと、ベースポイントとしての元Gとを受信するステップであって、楕円曲線Eは、有限体GF(p)上で定義され、 $y^2 = x^3 + ax + b$ で表され、元Gは、楕円曲線E上に存在し、 $G = (x_0, y_0)$ で表される受信ステップと、有限体GF(p)上に存在する変換係数tを取得するステップであって、変換係数tは、 $t \neq 0$ であり、かつ、 $t^4 \times a \pmod{p}$ は、素数pと比較して桁数が小さい、という条件を満たす変換係数算出ステップと、前記取得された変換係数tを用いて、次式により、楕円曲線E tのパラメータa'及びb'と、新たなベースポイントとしての元G tとを算出するステップであって、 $a' = a \times t^4$ 、 $b' = b \times t^6$ 、 $x_{t0} = t^2 \times x_0$ 、 $y_{t0} = t^3 \times y_0$ 、楕円曲線E tは、有限体GF(p)上で定義され、 $y'^2 = x'^3 + a' \times x' + b'$ で表され、 x_{t0} 、 y_{t0} は、それぞれ元G tのx座標値、y座標値である楕円曲線算出ステップと、前記算出されたパラメータa'及びb'と、元G tとを外部へ出力する出力ステップとを含む。

【0083】この方法を用いると、ランダムに構成された楕円曲線と同じ安全性を有し、利用装置において高速な演算を可能にする楕円曲線を生成することができ、その実用的価値は非常に大きい。また、本発明は、1つの楕円曲線Eを変換して他の1つの楕円曲線E tを生成する楕円曲線変換プログラムを記録しているコンピュータ読み取り可能な記録媒体であって、前記プログラムは、外部から、素数pと、楕円曲線Eのパラメータa及びパラメータbと、ベースポイントとしての元Gとを受信するステップであって、楕円曲線Eは、有限体GF(p)上で定義され、 $y^2 = x^3 + ax + b$ で表され、元Gは、楕円曲線E上に存在し、 $G = (x_0, y_0)$ で表される受信ステップと、有限体GF(p)上に存在する変換係数tを取得するステップであって、変換係数tは、 $t \neq 0$ であり、かつ、 $t^4 \times a \pmod{p}$ は、素数pと比較して桁数が小さい、という条件を満た

す変換係数算出ステップと、前記取得された変換係数tを用いて、次式により、楕円曲線E tのパラメータa'及びb'と、新たなベースポイントとしての元G tとを算出するステップであって、 $a' = a \times t^4$ 、 $b' = b \times t^6$ 、 $x_{t0} = t^2 \times x_0$ 、 $y_{t0} = t^3 \times y_0$ 、楕円曲線E tは、有限体GF(p)上で定義され、 $y'^2 = x'^3 + a' \times x' + b'$ で表され、 x_{t0} 、 y_{t0} は、それぞれ元G tのx座標値、y座標値である楕円曲線算出ステップと、前記算出されたパラメータa'及びb'と、元G tとを外部へ出力する出力ステップとを含む。

【0084】この媒体に記録されているプログラムをコンピュータで実行することにより、ランダムに構成された楕円曲線と同じ安全性を有し、利用装置において高速な演算を可能にする楕円曲線を生成することができ、その実用的価値は非常に大きい。

【図面の簡単な説明】

【図1】エルガマル署名によるデジタル署名方式の手順を示すシーケンス図である。

【図2】本発明に係る1つの実施の形態としての楕円曲線変換装置のブロック図である。

【図3】図2に示す楕円曲線変換装置で用いられる関数T(i)を説明する表である。

【図4】図2に示す楕円曲線変換装置の動作を示すフローチャートである。

【図5】図2に示す楕円曲線変換装置の変換係数取得部の動作を示すフローチャートである。

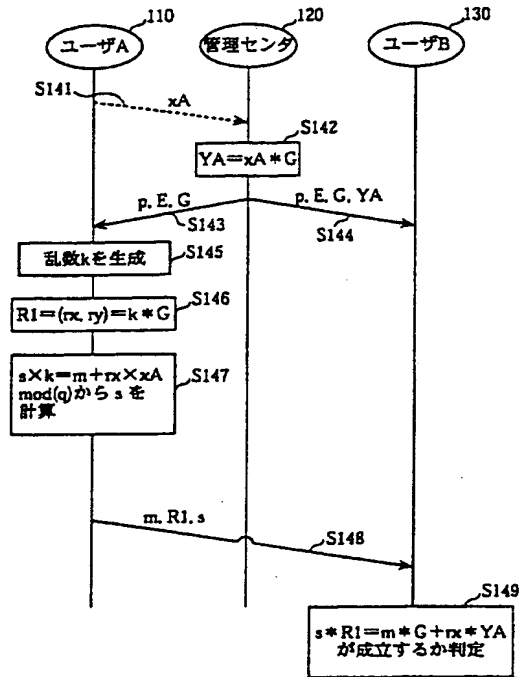
【図6】図2に示す楕円曲線変換装置の変換楕円曲線算出部の動作を示すフローチャートである。

【図7】図2に示す楕円曲線変換装置を適用する鍵共有システムの動作手順を示すシーケンス図である。

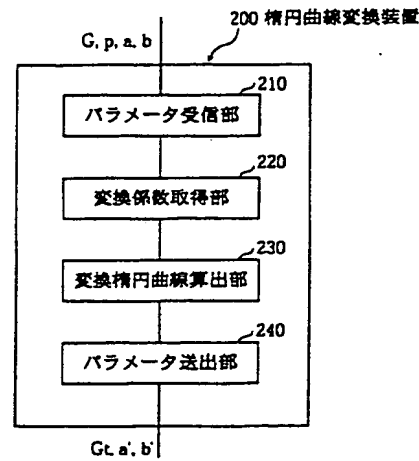
【符号の説明】

200	楕円曲線変換装置
210	パラメータ受信部
220	変換係数取得部
230	変換楕円曲線算出部
240	パラメータ送出处

【図1】



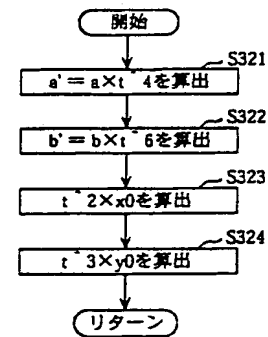
【図2】



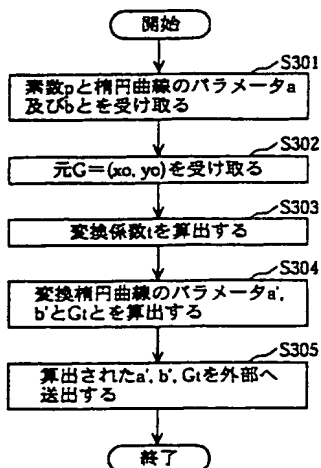
【図3】

i	T(i)
0	-3
1	1
2	-1
3	2
4	-2
5	3
6	4
7	-4
8	5
9	-5
10	6
11	-6
...	...
...	...

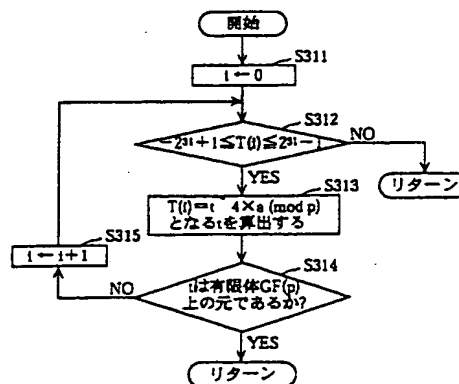
【図6】



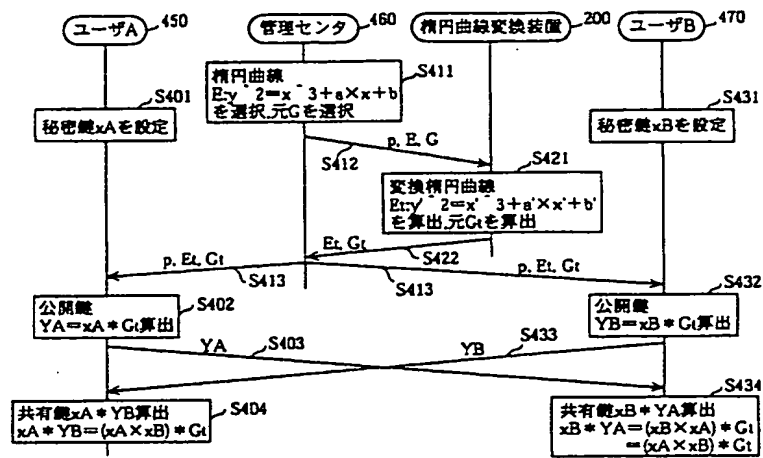
【図4】



【図5】



【図7】



THIS PAGE BLANK (USPTO)